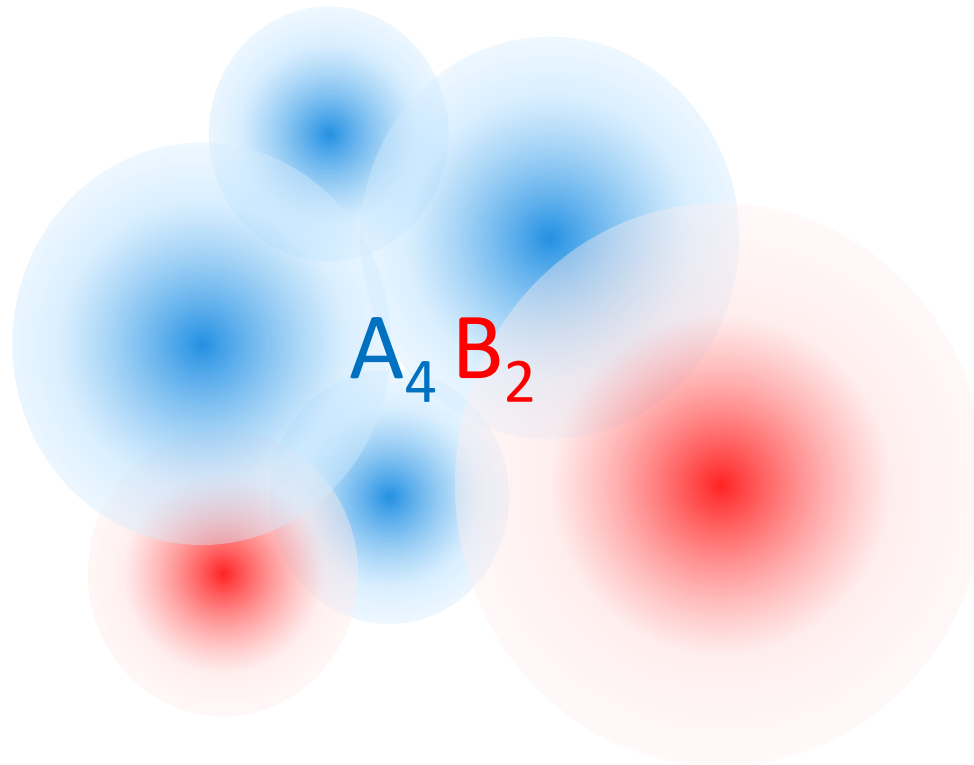


Kvantne Monte Carlo simulacije

~ Petar Stipanović ~

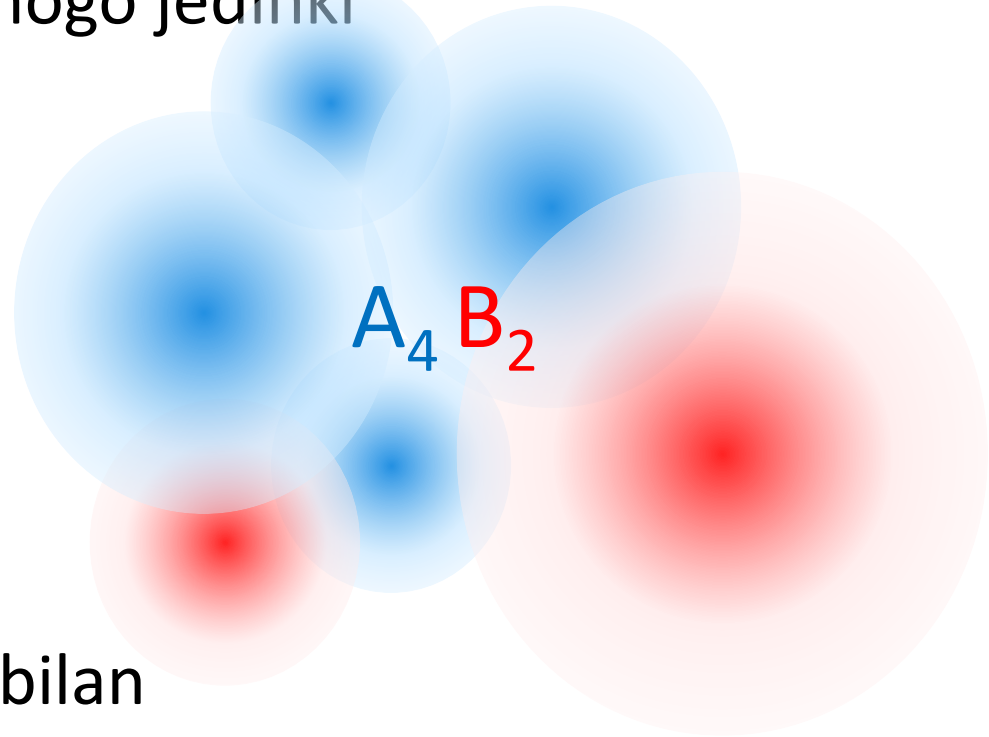


>> UVOD: Klasteri

- klasteri: agregati konačno mnogo jedinki

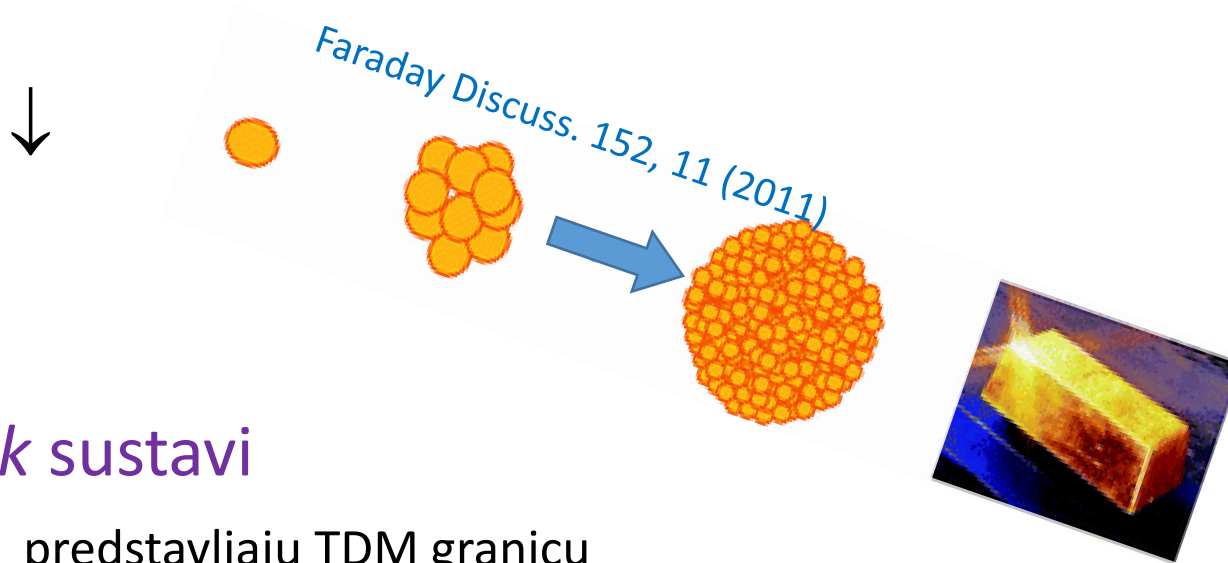
- dimer A_2
- trimer A_3
- tetramer A_4
- pentamer $A_4 B$
- ...

- $E < 0$ – sustav: vezan, metastabilan
- proučavani su eksperimentalno i teorijski
- kvantni klasteri - kvantni tretman
 - tuneliranje
 - nulto gibanje
 - kvantizacija...



>> UVOD: Klasteri

- klasteri - prijelazne forme materije



- *bulk* sustavi

✓ predstavljaju TDM granicu

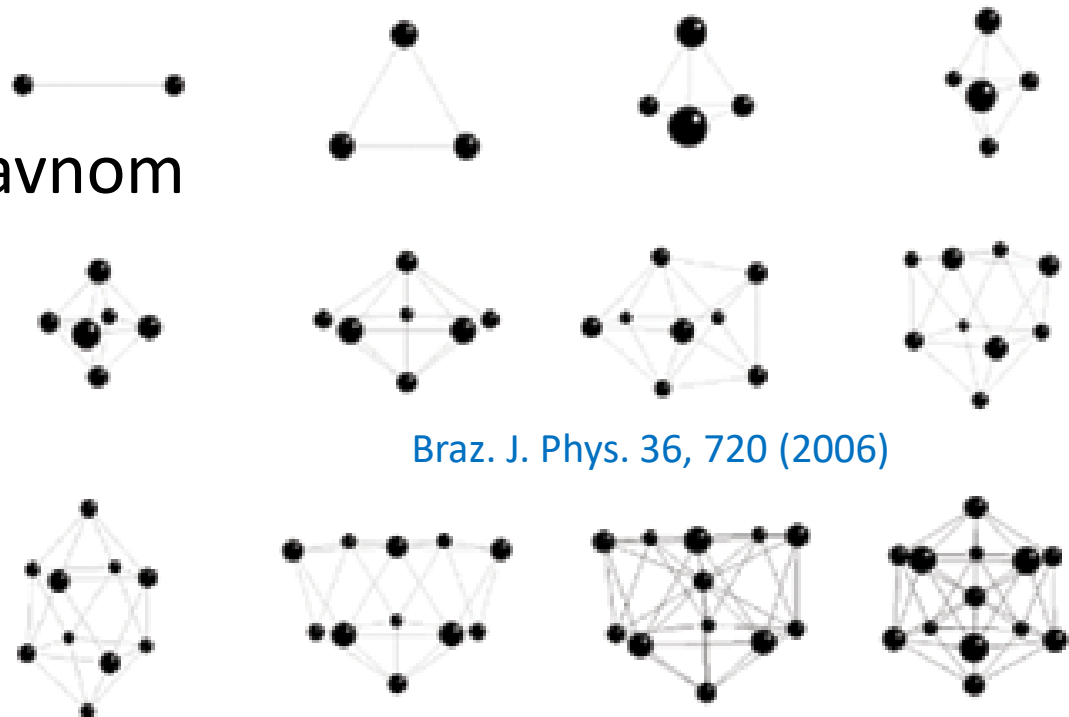
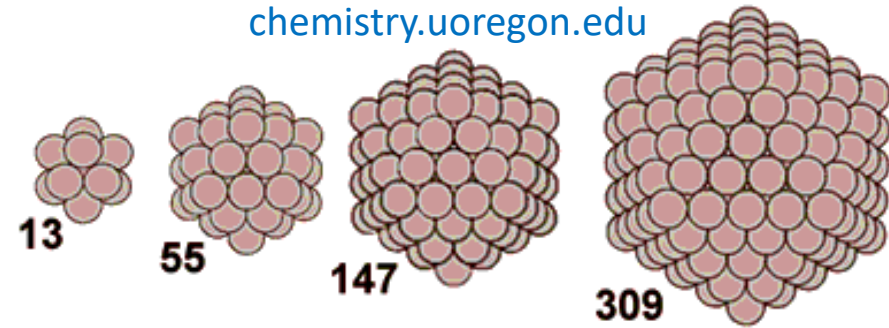
$$\begin{aligned} N, V &\rightarrow \infty \\ \frac{N}{V} &= \text{const.} \end{aligned}$$

- iste ih veze drže na okupu
 - van der Waalsova nama ovdje interesantna

>> UVOD: Klasteri

- konačan broj atoma
 - uzrok razlike
 - velik udio površinskih atoma
 - nova stanja
 - dodavanje atoma – karakteristike
 - nejednoliki prijelaz
 - magični brojevi
- klasteri se ponašaju uglavnom slično krutinama
 - iznimke:
 - He
 - H↓
 - ...

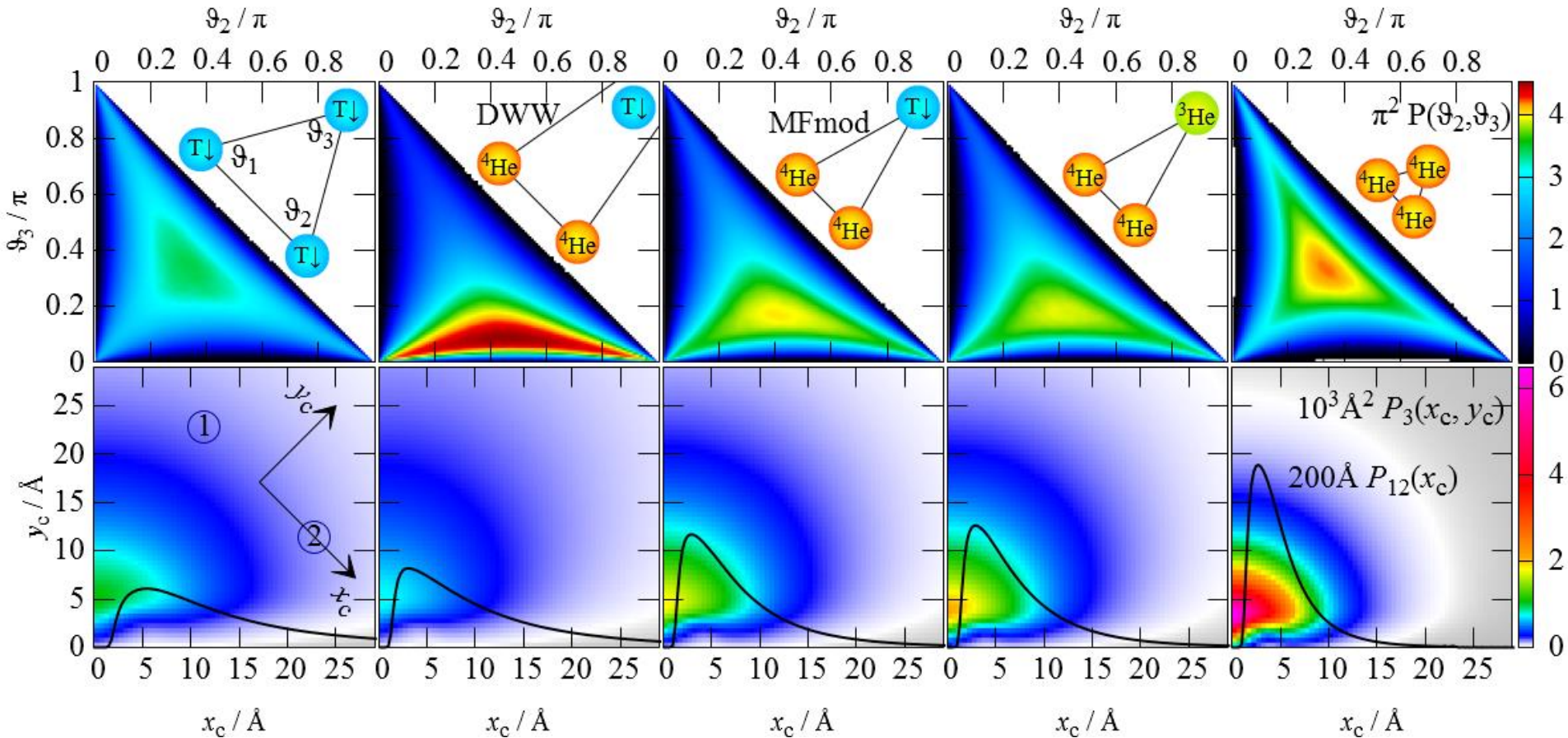
chemistry.uoregon.edu



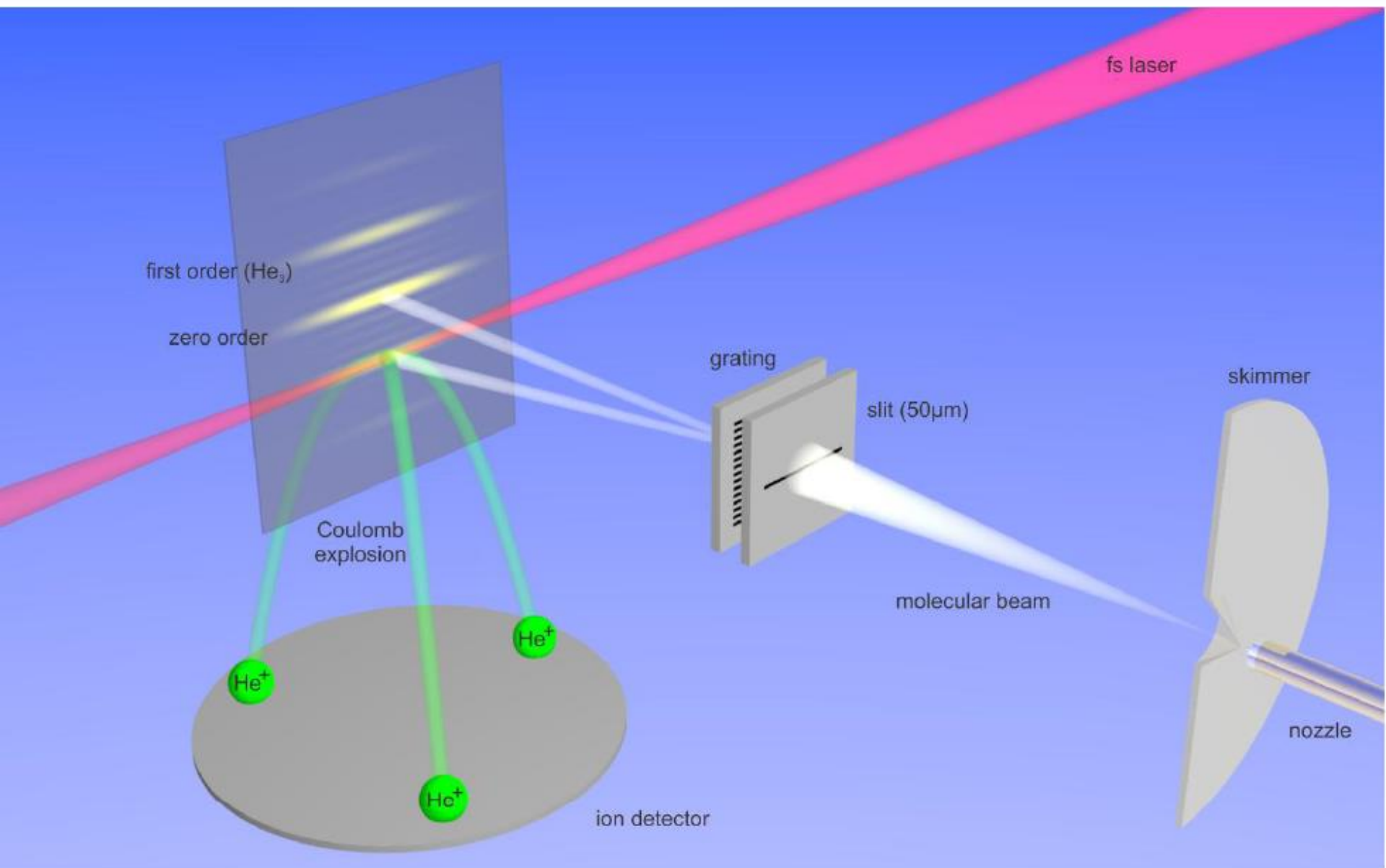
[Braz. J. Phys. 36, 720 \(2006\)](#)

» Proučavani – računalnim eksperimentima

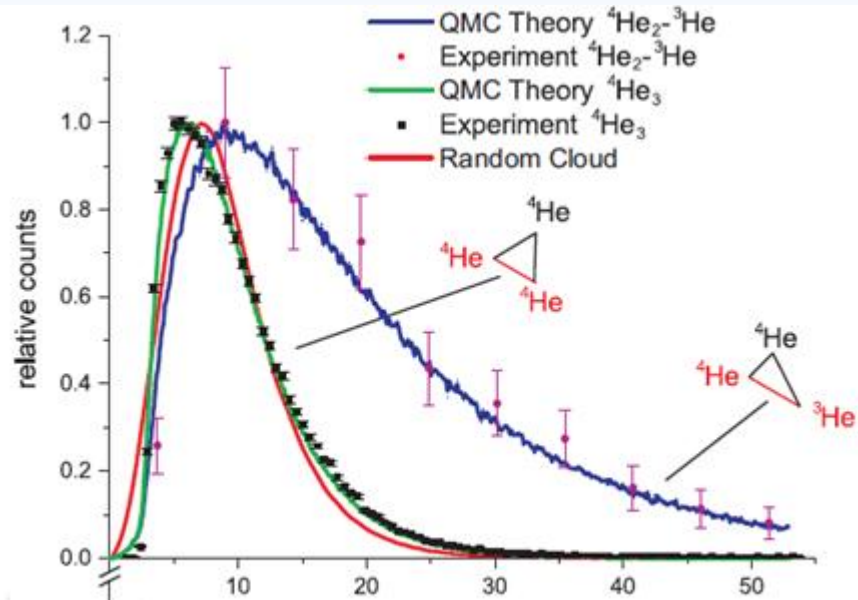
- razne distribucijske funkcije



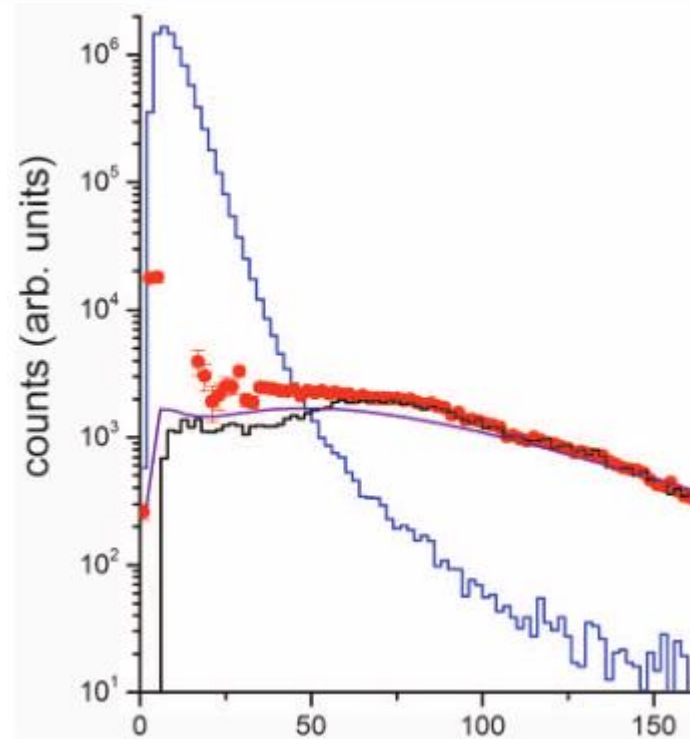
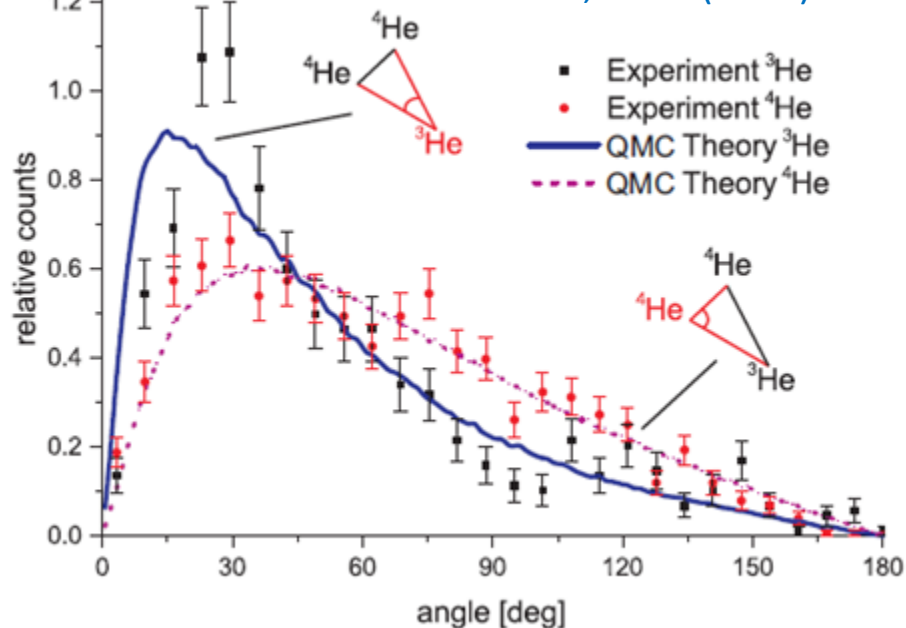
>> Proučavani - eksperimentalno



» Struktura – eksperimenti

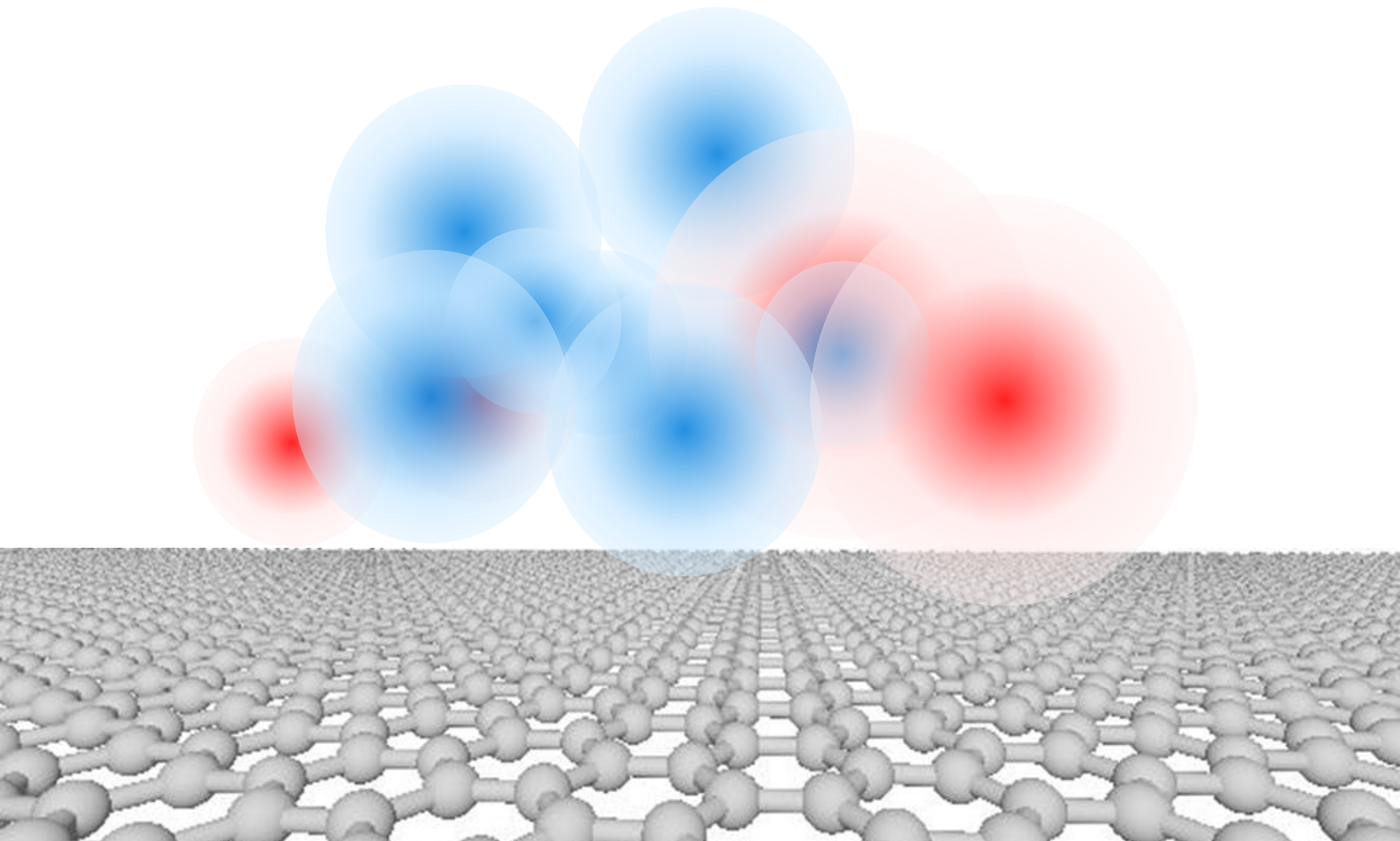


Nature Communications 5, 5765 (2014)



Maksim Kunitski *et al.*, Science **348**, 551 (2015)

VMC i DMC metoda



>> METODE: VMC

- varijacijski teorem

$$E_0 \leq \int \psi^*(\vec{R}) \mathcal{H} \psi(\vec{R}) d\vec{R}$$

$$\vec{R} = (\vec{r}_1, \vec{r}_2, \dots, \vec{r}_{N_a})$$

- Hamiltonijan

$$\mathcal{H} = \mathcal{T} + \mathcal{V} \equiv -D_{\vec{R}} \nabla_{\vec{R}}^2 + V(\vec{R})$$

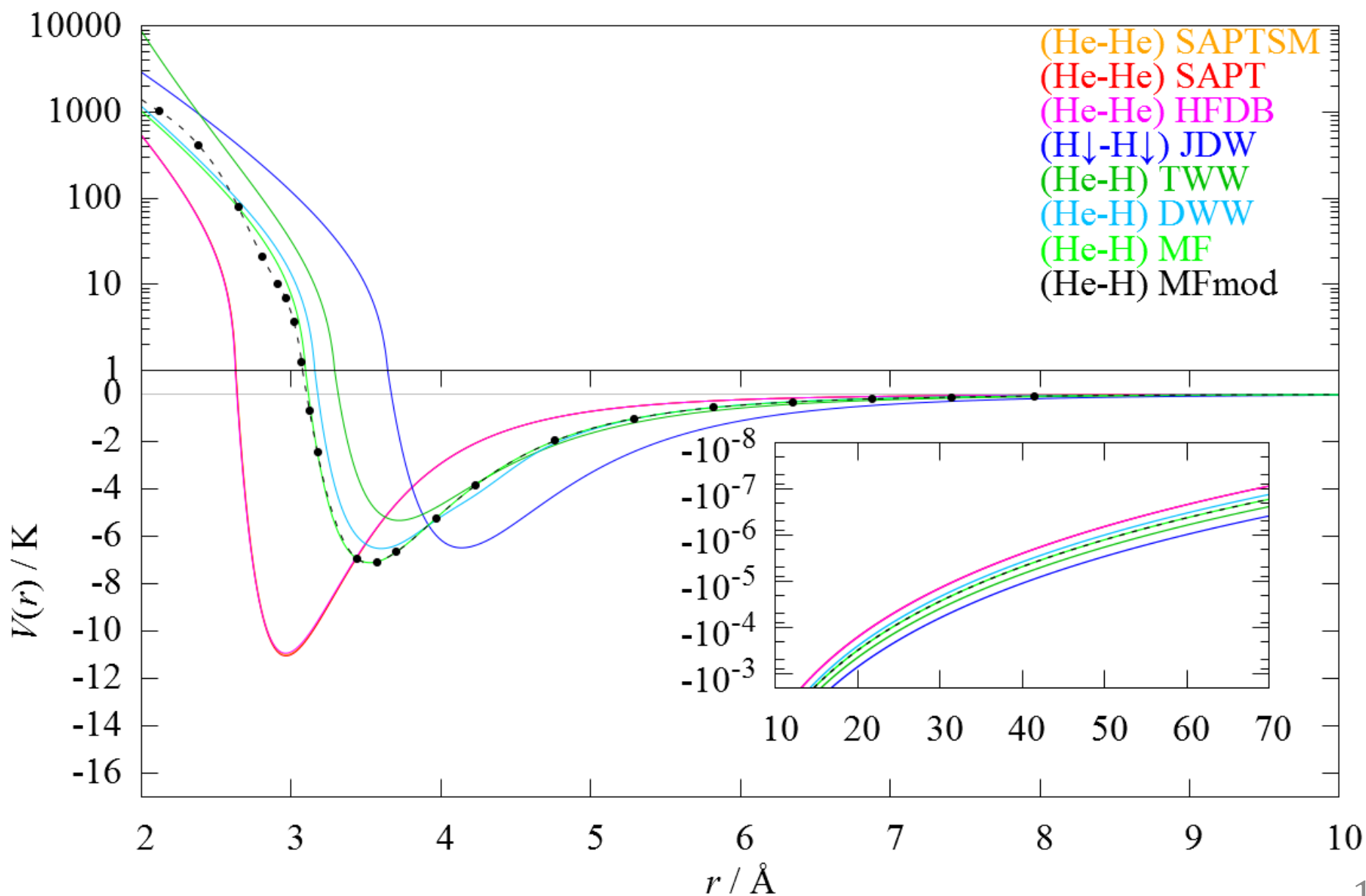
$$D_i = \hbar^2 / (2m_i)$$

$$\equiv - \sum_{i=1}^{N_a} D_i \nabla_i^2 + \sum_{i < j=1}^{N_a} V_{ij}(r_{ij}) + \sum_{i=1}^{N_a} V_p(\vec{r}_i)$$

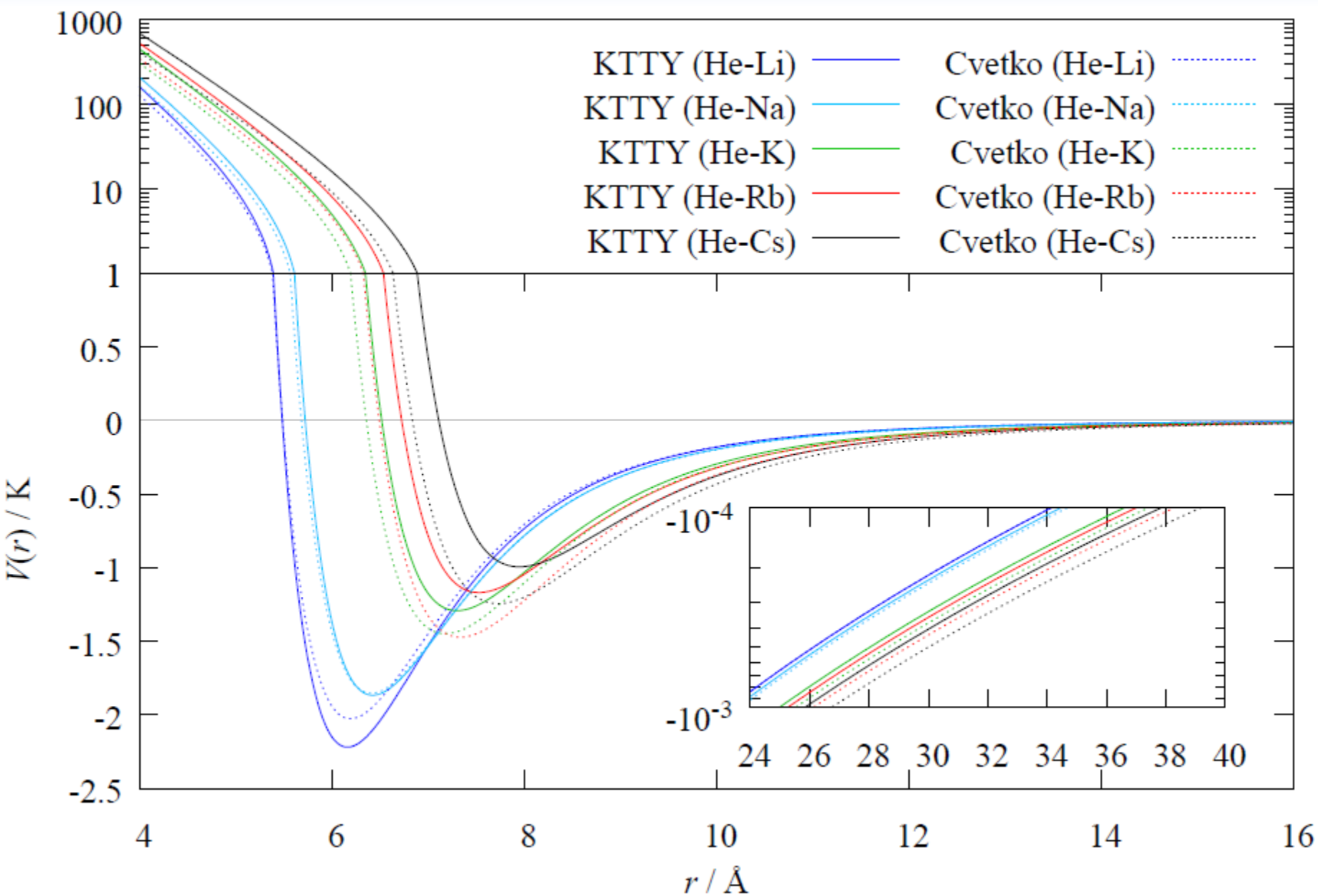
- prilagodba integrala za Metropolisov algoritam

$$\begin{aligned} E_{\text{VMC}}[\psi] &= \int \psi^*(\vec{R}) \mathcal{H} \psi(\vec{R}) d\vec{R} = \int \psi^*(\vec{R}) \psi(\vec{R}) \left[\frac{\mathcal{H} \psi(\vec{R})}{\psi(\vec{R})} \right] d\vec{R} \\ &\equiv \int \psi^*(\vec{R}) \psi(\vec{R}) \left[E_L(\vec{R}) \right] d\vec{R} \end{aligned}$$

» METODA: Potencijali



» METODA: Potencijali



>> METODA: ψ u slobodnom prostoru

- probne valne funkcije

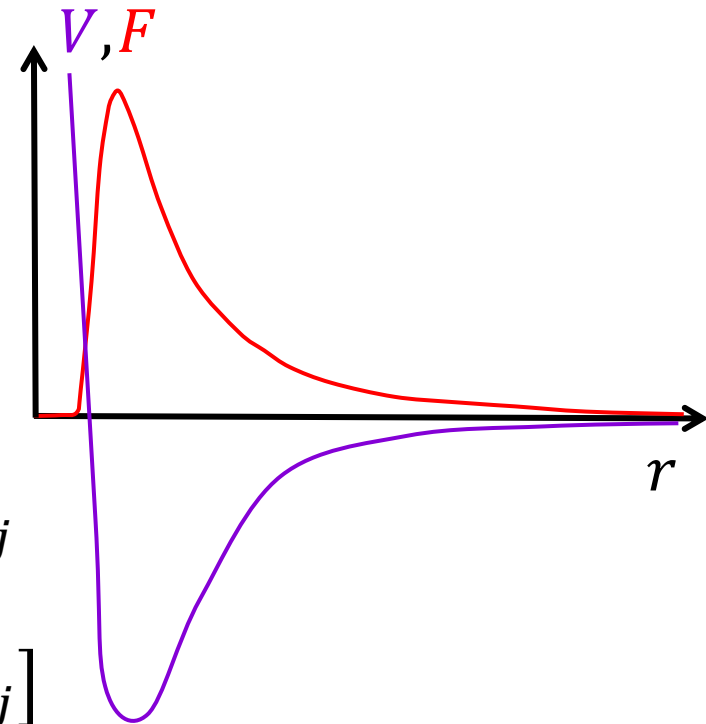
$$\psi(\vec{R}) = \prod_{i < j=1}^{N+M} F_{ij}(r_{ij})$$

- različiti oblici korelacijskih funkcija

$$F_{ij}(r_{ij}) = \exp \left[- \left(\frac{b_{ij}}{r_{ij}} \right)^5 - s_{ij} r_{ij} \right]$$

$$F_{ij}(r_{ij}) = \exp \left[- (\alpha_{ij}/r_{ij})^{\gamma_{ij}} - s_{ij} r_{ij} \right] / r_{ij}$$

$$F_{ij}(r_{ij}) = \exp \left[-a_{ij} \exp(-b_{ij} r_{ij}) - s_{ij} r_{ij} \right]$$

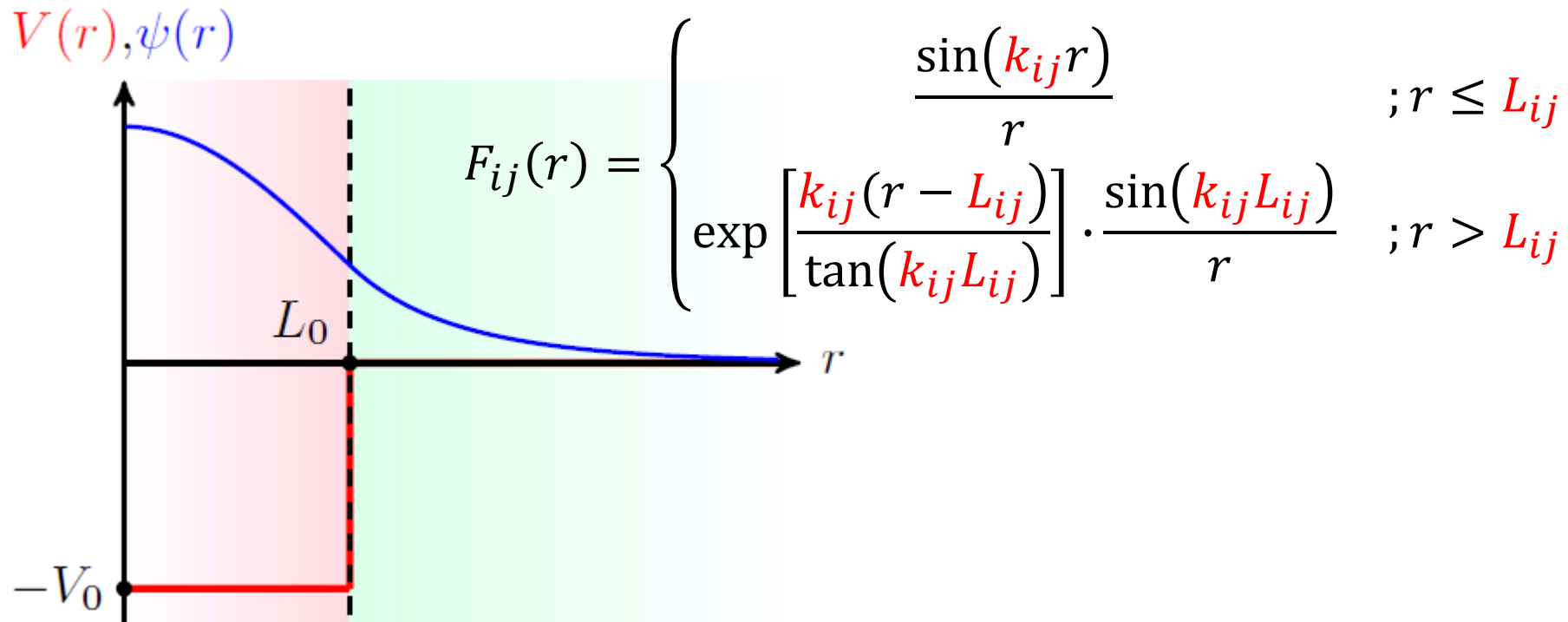


>> METODA: ψ u slobodnom prostoru

- dvočestične korelacijske funkcije optimalne za male klasterne

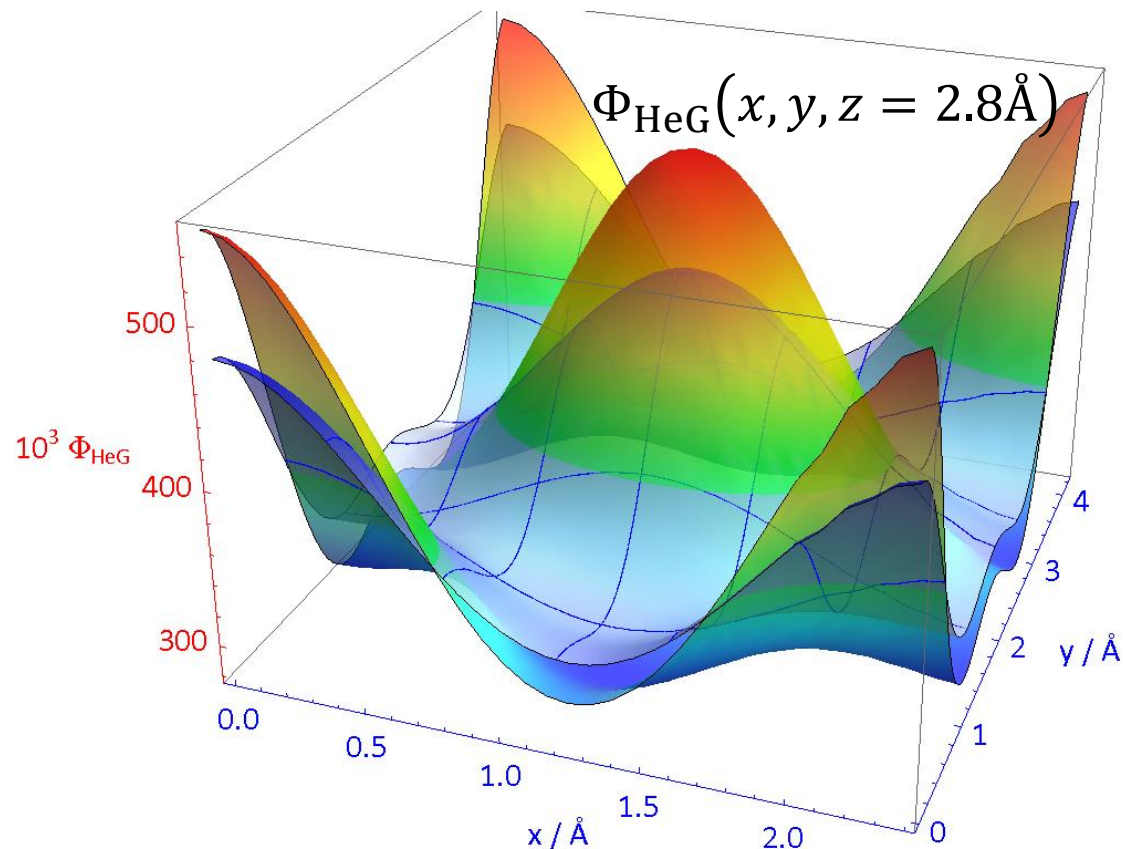
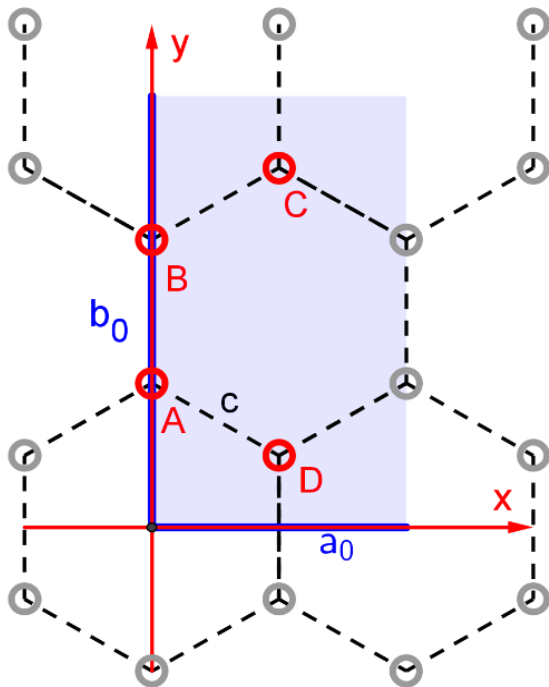
$$F_{ij}(r_{ij}) = \exp \left[-(\alpha_{ij}/r_{ij})^{\gamma_{ij}} - s_{ij}r_{ij} \right] / r_{ij}$$

- dvočestične korelacijske funkcije za modele klastera



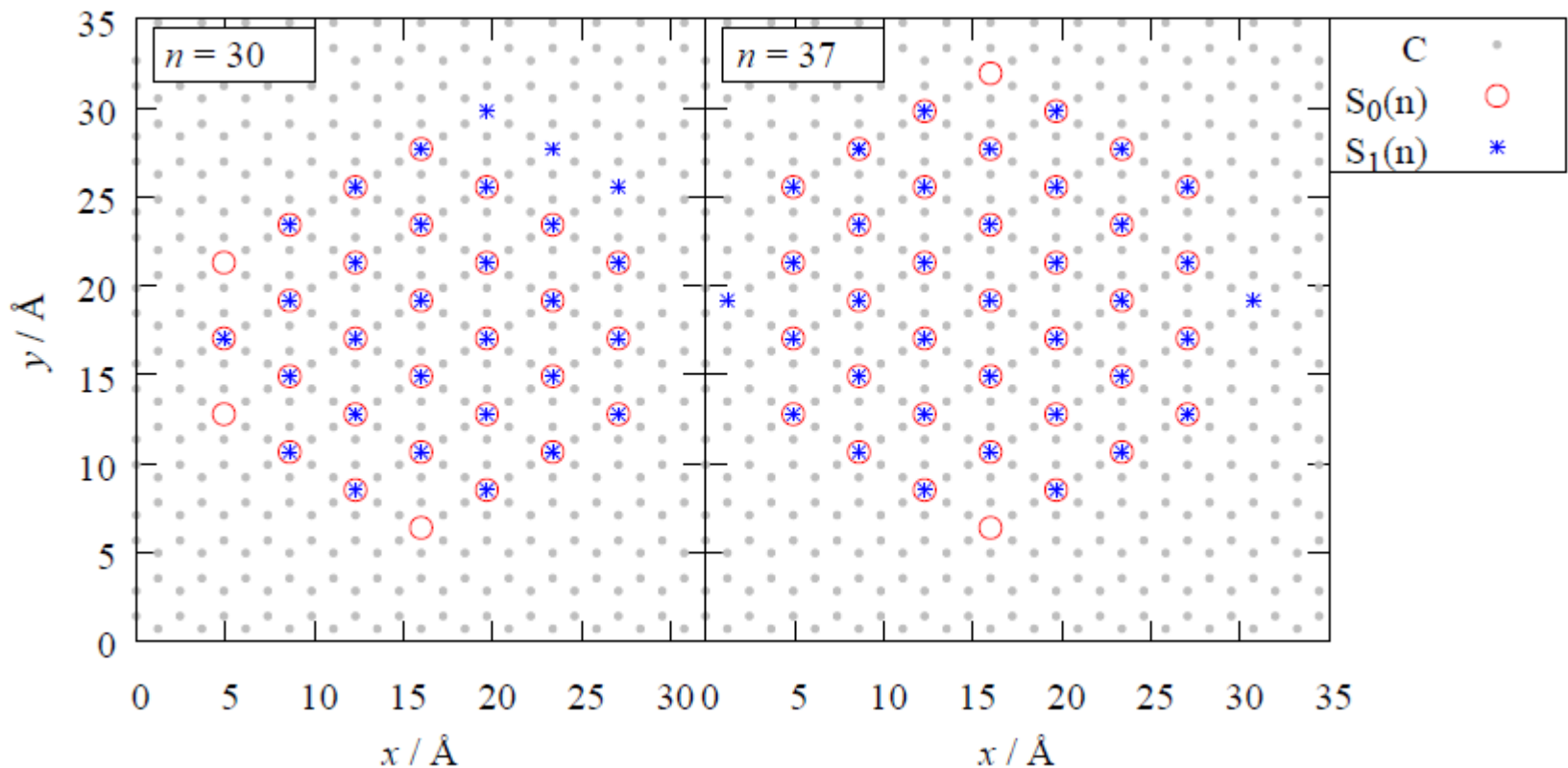
>> METODA: ψ u ograničenom prostoru

- primjer: He_n (sličan **tkućini**) na grafenu
- probna valna funkcija $\psi_T(\vec{R}) = \prod_{i<j=1}^N F_{ij}(r_{ij}) \prod_{i=1}^N \Phi_i(\vec{r}_i)$
- glatka $\Phi(z) = e^{-\left(\frac{a_2}{z}\right)^{a_3} - a_4 z^{a_5}}$
- korugirana $\Phi_{\text{HeG}}(x, y, z)$



>> METODA: ψ u ograničenom prostoru

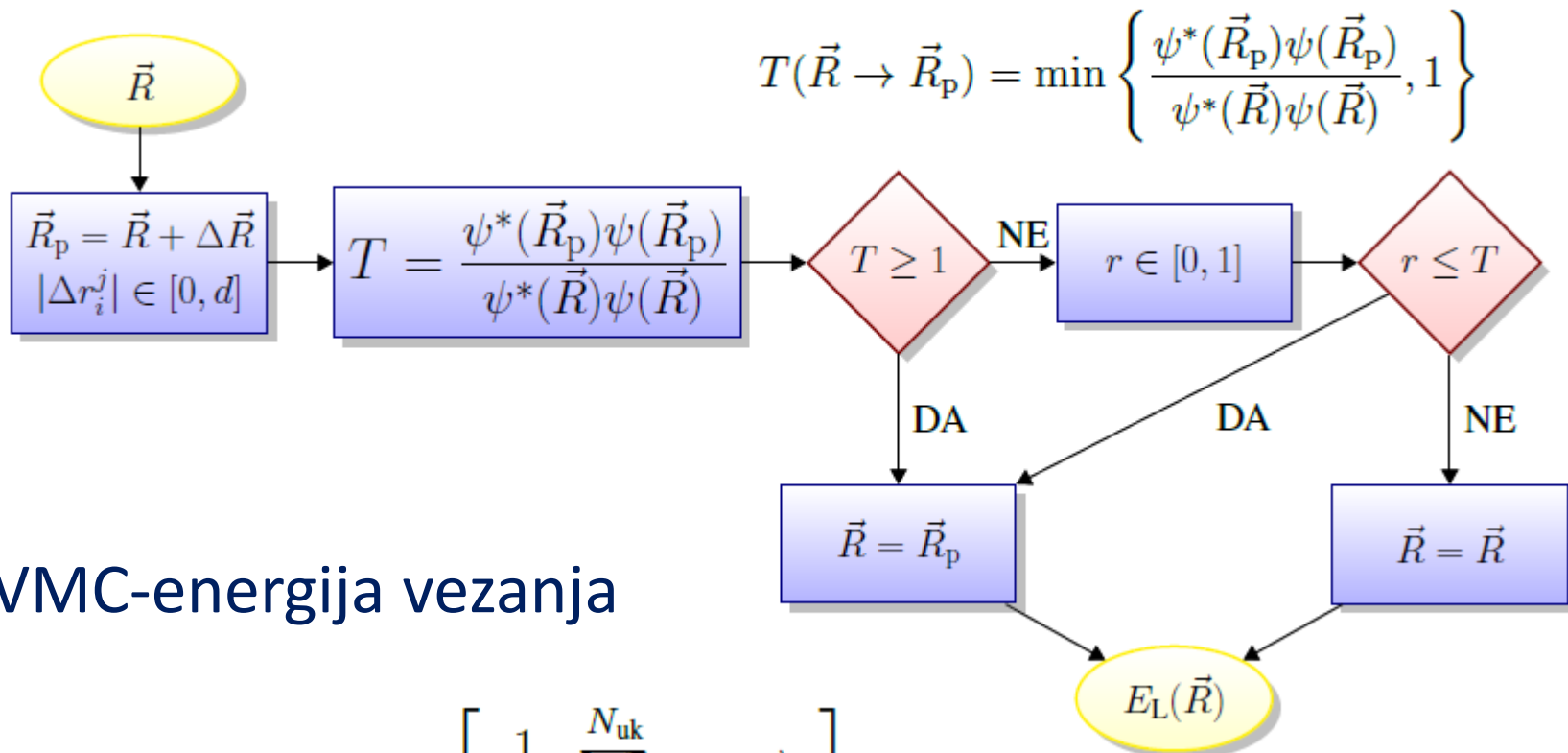
- primjer: He_n (sličan **krutini**) na grafenu
- probna valna funkcija $\psi_T(\vec{R}) = \prod_{i<j=1}^N F_{ij}(r_{ij}) \prod_{i=1}^N \Phi_i(\vec{r}_i)$
 $\psi_K(\vec{R}) = \psi_T(\vec{R}) \prod_{i=1}^N h(\vec{\rho}_{iI}) \quad ; \quad \vec{\rho}_I \in S(n)$



» METODA: VMC

- računanje lokalne energije unutar jednog koraka simulacije

$$E_L = \frac{\mathcal{H}\psi(\vec{R})}{\psi(\vec{R})}$$



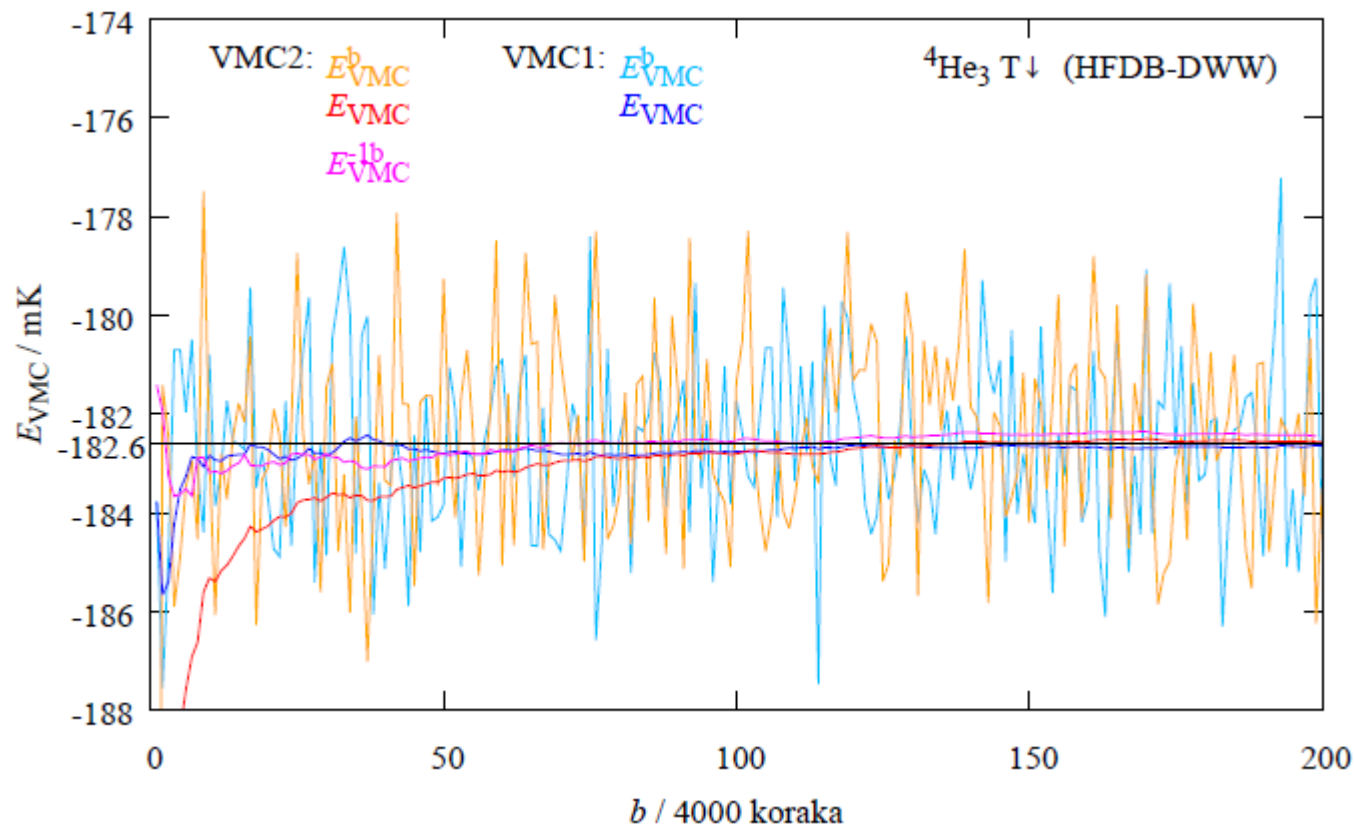
- VMC-energija vezanja

$$E_{\text{VMC}}[\psi] = \lim_{N_{\text{uk}} \rightarrow \infty} \left[\frac{1}{N_{\text{uk}}} \sum_{i=1}^{N_{\text{uk}}} E_L(\vec{R}_i) \right]$$

» METODA: VMC

- procjena dobrog uzorkovanja

$$\underbrace{\boxed{k=1} \boxed{k=2} \cdots \boxed{k=N_k}}_{b=1} \underbrace{\boxed{k=N_k+1} \cdots \cdots \boxed{k=(N_b-1)N_k+1}}_{b=2} \cdots \underbrace{\boxed{k=(N_b-1)N_k+1} \cdots \boxed{k=N_b N_k}}_{b=N_b}$$



- Optimizacija probne valne funkcije: $\min\{E\}$, $\min\{\sigma_E\}$

>> METODA: DMC

- Schrödingerova jednačba napisana u imaginarnom vremenu ($it/\hbar \rightarrow \tau$) postaje difuzijska

$$-\frac{\partial \Psi(\vec{R}, \tau)}{\partial \tau} = \mathcal{H}\Psi(\vec{R}, \tau)$$

- formalno rješenje $\Psi(\vec{R}, \tau) = e^{-\mathcal{H}\tau} \Psi(\vec{R}, 0)$

- razvoj po $\mathcal{H}\Upsilon_i(\vec{R}) = E_i \Upsilon_i(\vec{R})$

$$\Psi(\vec{R}, 0) = \sum_i c_i \Upsilon_i(\vec{R})$$

$$\Psi(\vec{R}, \tau) = \sum_i c_i e^{-E_i \tau} \Upsilon_i(\vec{R})$$

Problem 1

- (P1) brzina konvergencije

>> METODA: DMC

Rješenje1

- (R1) evoluciju stabiliziramo uvođenjem referentne energije

$$-\frac{\partial \Psi(\vec{R}, \tau)}{\partial \tau} = (\mathcal{H} - E_R) \Psi(\vec{R}, \tau)$$

$$\Psi(\vec{R}, \tau) = e^{-(\mathcal{H} - E_R)\tau} \Psi(\vec{R}, 0) = \sum_i c_i e^{-(E_i - E_R)\tau} \Upsilon_i(\vec{R}) \Rightarrow \text{(P2) ne znamo } E_i$$

- (R2) uvodimo operator odgovoran za evoluciju $\mathcal{G} = e^{-(\mathcal{H} - E_R)\tau}$
- koordinatna reprezentacija $G(\vec{R}', \vec{R}, \tau) = \langle \vec{R}' | e^{-(\mathcal{H} - E_R)\tau} | \vec{R} \rangle$
- \Rightarrow (P3) ne možemo istodobno simulirati cijeli \mathcal{H}
- Trotterov teorem za mali $\Delta\tau$

$$\mathcal{T}\mathcal{V} = \mathcal{V}\mathcal{T} \quad \Rightarrow \quad \nabla_{\vec{R}}^2 V(\vec{R}) = V(\vec{R}) \nabla_{\vec{R}}^2$$

>> METODA: DMC

- (R3) aproksimacija kratkih vremenskih intervala

$$\exp(-\tau(\mathcal{H} - E_R)) = \prod_{k=1}^{N_{\text{uk}}} \exp(-\Delta\tau(\mathcal{H} - E_R))$$

- prema Trotterovom teoremu

$$e^{-(\mathcal{H}-E_R)\Delta\tau} \approx e^{-\mathcal{T}\Delta\tau} e^{-(\mathcal{V}-E_R)\Delta\tau} \stackrel{\Delta\tau \rightarrow 0}{\equiv} \mathcal{G}_T \mathcal{G}_V$$

- znači: možemo odvojeno promatrati evoluciju kinetičkog i potencijalnog dijela
- popravke ovog pristupa daje Baker-Campbell-Hausdorffova (BCH) formula

$$\exp(\mathcal{A}) \exp(\mathcal{B}) = \exp\left(\mathcal{A} + \mathcal{B} + \frac{1}{2}[\mathcal{A}, \mathcal{B}] + \frac{1}{12}[\mathcal{A} - \mathcal{B}, [\mathcal{A}, \mathcal{B}]] + \dots\right)$$

>> METODA: DMC

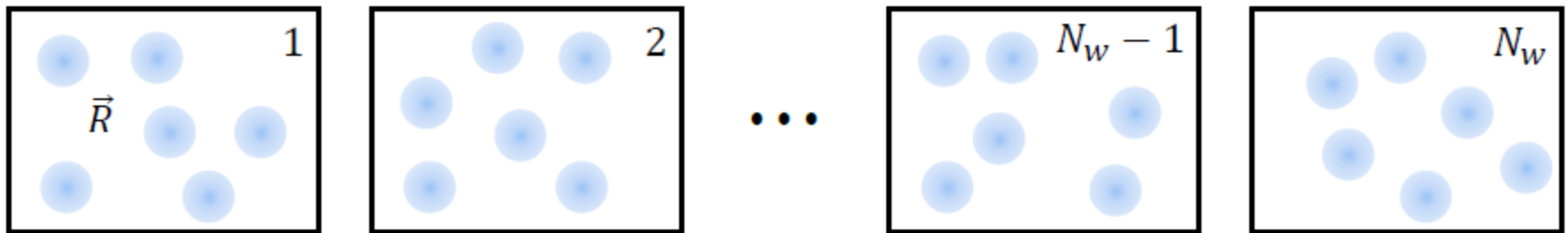
- jednađba potencijalnog dijela (rast,pad) => nestabilnost(P4)

$$\frac{\partial G_V(\vec{R}', \vec{R}, \tau)}{\partial \tau} = - \left(V(\vec{R}) - E_R \right) G_V(\vec{R}', \vec{R}, \tau)$$

- (R4) stabilizacija proračuna – uvođenje značajnog odabira

$$\Phi(\vec{R}, \tau) = \psi(\vec{R}) \cdot \Psi(\vec{R}, \tau)$$

- valna funkcija u simulaciji dana je ansamblom šetača



- $\tau = N\Delta\tau \rightarrow \infty$: $\Phi(\vec{R}, \tau) \rightarrow \psi(\vec{R})\gamma_0(\vec{R})$

>> METODA: DMC

- => (P5) BCH daje

$$E'_{\text{DMC}} = \frac{\langle \psi | \mathcal{H} | \Upsilon_0 \rangle}{\langle \psi | \Upsilon_0 \rangle} \stackrel{(2.44)}{=} E_0 + \frac{1}{2} \Delta \tau \frac{\langle \psi | [\mathcal{H}, \mathcal{V}] | \Upsilon_0 \rangle}{\langle \psi | \Upsilon_0 \rangle} + \dots$$

- (R5) nesimetričan rastav

$$\mathcal{G}'' = e^{-\frac{1}{2} \Delta \tau \mathcal{V}} e^{-\frac{1}{2} \Delta \tau \mathcal{T}} e^{-\frac{1}{2} \Delta \tau \mathcal{T}} e^{-\frac{1}{2} \Delta \tau \mathcal{V}}$$

$$E''_{\text{DMC}} = \frac{\langle \psi | \mathcal{H} | \Upsilon_0 \rangle}{\langle \psi | \Upsilon_0 \rangle} \stackrel{(2.50)}{=} E_0 + \frac{1}{24} \Delta \tau^2 \left[\langle \Upsilon_0 | \Delta \mathcal{H} | \Upsilon_0 \rangle - \frac{\langle \psi | \Delta \mathcal{H} | \Upsilon_0 \rangle}{\langle \psi | \Upsilon_0 \rangle} \right] + \dots$$

>> METODA: DMC

- (P6) DJ nakon uvođenja značajnog odabira

$$-\frac{\partial \Phi(\vec{R}, \tau)}{\partial \tau} = -D_{\vec{R}} \nabla_{\vec{R}}^2 \Phi(\vec{R}, \tau) + D_{\vec{R}} \nabla_{\vec{R}} \cdot [\vec{F}(\vec{R}) \Phi(\vec{R}, \tau)] + [E_L(\vec{R}) - E_R] \Phi(\vec{R}, \tau)$$

$$\equiv [\mathcal{A}_1 + \mathcal{A}_2 + \mathcal{A}_3] \Phi(\vec{R}, \tau) \equiv \mathcal{A} \Phi(\vec{R}, \tau)$$

$$\vec{F}(\vec{R}) \equiv \nabla_{\vec{R}}^2 \ln |\psi(\vec{R})|^2 = 2 \frac{\nabla_{\vec{R}} \psi(\vec{R})}{\psi(\vec{R})}$$

- (R6) djelovanje triju operatora

$$\begin{aligned} \exp(-\mathcal{A} \Delta \tau) &= \exp\left(-\mathcal{A}_3 \frac{\Delta \tau}{2}\right) \exp\left(-\mathcal{A}_2 \frac{\Delta \tau}{2}\right) \exp(-\mathcal{A}_1 \Delta \tau) \\ &\quad \times \exp\left(-\mathcal{A}_2 \frac{\Delta \tau}{2}\right) \exp\left(-\mathcal{A}_3 \frac{\Delta \tau}{2}\right) + \mathcal{O}(\Delta \tau^3). \end{aligned}$$

$$\begin{aligned} G_1(\vec{R}', \vec{R}, \tau) &= (4\pi D_{\vec{R}} \tau)^{-3N_a/2} \exp\left(-\frac{(\vec{R} - \vec{R}')^2}{4D_{\vec{R}} \tau}\right) \\ &= \prod_{i=1}^{N_a} (4\pi D_i \tau)^{-3N_a/2} \exp\left(-\frac{(\vec{r}_i - \vec{r}_i')^2}{4D_i \tau}\right) \end{aligned}$$

$$G_3(\vec{R}', \vec{R}, \tau) = \exp\left(-(E_L(\vec{R}) - E_R)\tau\right) \delta(\vec{R}' - \vec{R})$$

$$G_2(\vec{R}', \vec{R}, \tau) = \delta(\vec{R}' - \vec{R}(\tau))$$

$$\frac{d\vec{R}(\tau)}{d\tau} = D\vec{F}(\vec{R}(\tau))$$

>> METODA: DMC

- (P7) previše aproksimacija? koja su ograničenja?
- (R6) uvjeti

(U0) preklop $\Psi(\vec{R}, 0)$ i $\Upsilon_0(\vec{R})$ različit je od nule;

(U1) za svaki \vec{R} za koji je $\Upsilon_0(\vec{R}) \neq 0$, također je i $\psi(\vec{R}) \neq 0$;

(U2) ansambl šetača je dovoljno velik kako bi se moglo uzorkovati $\Phi(\vec{R}, \tau) = \psi(\vec{R})\Psi(\vec{R}, \tau)$;

(U3) vremenski korak $\Delta\tau$ dovoljno je mali kako bi vrijedila dekompozicija (2.57);

(U4) vrijeme τ dovoljno je veliko da utrnu komponente pobuđenih stanja $\Psi(\vec{R}, \tau) \rightarrow \Upsilon_0(\vec{R})$;

- (P8) utječe li značajni odabir na procjenu osobina sustava
- (R8)

- mijesanim estimatorima
$$\langle \mathcal{F}(\vec{R}) \rangle_{\text{m}} = \frac{\langle \psi(\vec{R}) | \mathcal{F}(\vec{R}) | \Upsilon_0(\vec{R}) \rangle}{\langle \psi(\vec{R}) | \Upsilon_0(\vec{R}) \rangle}$$

možemo odrediti srednje vrijednosti operatora koji $[\mathcal{F}, \mathcal{H}] = 0$

- čistim estimatorima ostale veličine koje su odredive iz uzorkovanih položaja

>> METODA: DMC - algoritam

$$\left\{ \vec{R}_w \right\} \rightarrow \left\{ \vec{R}'_{i+j} = \vec{R}'_{p(w)} \mid i = \sum_{m=1}^{w-1} n_m; 1 \leq j \leq n_w \right\} \quad \left\{ \vec{R}_w \right\} \rightarrow \left\{ \left(\vec{R}_w^m, E_L \right) \mid E_L = E_L(\vec{R}_w) \right\} \equiv S$$

DMC algoritam

⇒ Gaussov pomak: $\vec{R}_a^m = \vec{R}_w^m + \Delta \vec{R}$ gdje je $\Delta \vec{R}$ nasumično odabran iz $3N_a$ Gaussove razdiobe s eksponentom $-(\Delta \vec{R})^2 / (4D_{\vec{R}}\Delta\tau)$.

⇒ Računanje driftne sile: $\vec{F}_a = \vec{F}(\vec{R}_a^m)$.

⇒ Pomoćni driftni pomak: $\vec{R}_b^m = \vec{R}_a^m + D_{\vec{R}} \cdot \frac{\Delta\tau}{2} \cdot \vec{F}_a$.

⇒ Računanje driftne sile: $\vec{F}_b = \vec{F}(\vec{R}_b^m)$.

⇒ Srednji driftni pomak: $\vec{R}'_{p(w)} = \vec{R}_a^m + D_{\vec{R}} \cdot \frac{\Delta\tau}{2} \cdot \frac{\vec{F}_a + \vec{F}_b}{2}$, pohranimo u $\vec{R}_b^m = \vec{R}'_{p(w)}$.

⇒ Računanje driftne sile i lokalne nenerije: $\vec{F}' = \vec{F}(\vec{R}'_{p(w)})$, $E'_L = E_L(\vec{R}'_{p(w)})$.

⇒ Konačni driftni pomak: $\vec{R}_w^m = \vec{R}_a^m + D_{\vec{R}} \cdot \Delta\tau \cdot \vec{F}'$.

⇒ Određivanje statističke težine: $W(\vec{R}'_{p(w)}) = \exp \left(- \left[\frac{1}{2}(E_L + E'_L) - E_R \right] \Delta\tau \right)$.

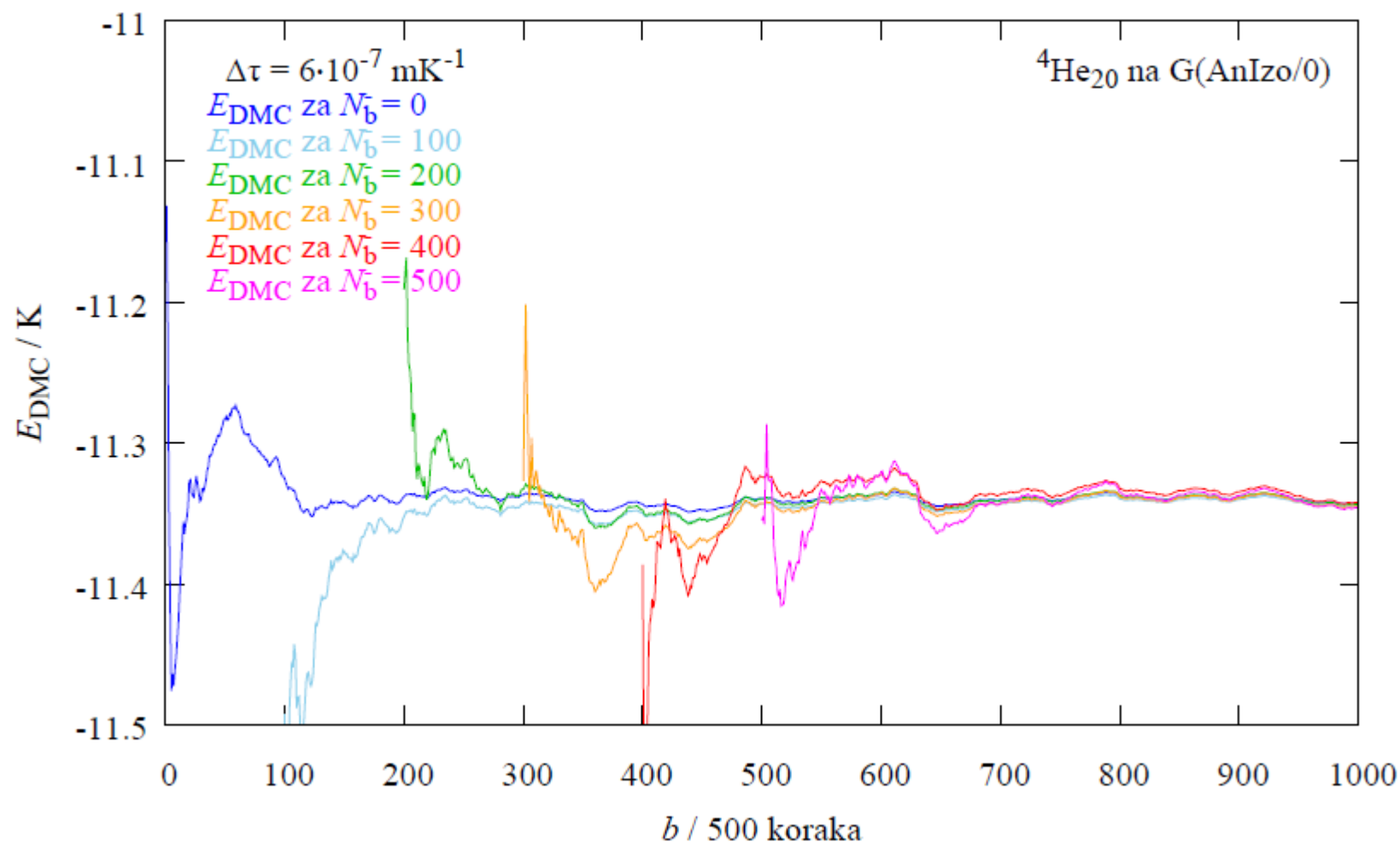
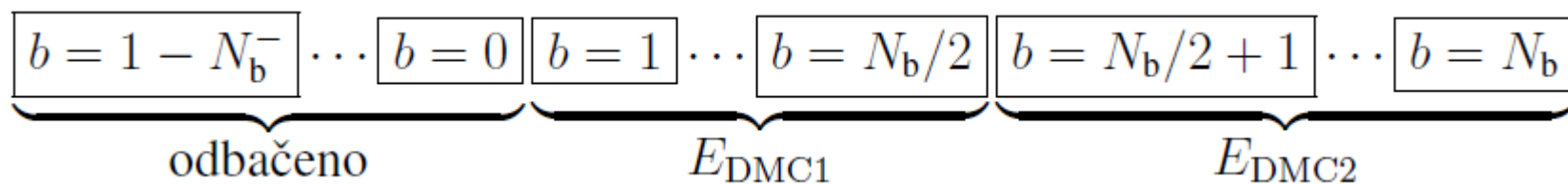
⇒ Stohastička procjena broja potomaka: $n_w = \text{int} \left[W(\vec{R}'_{p(w)}) + \text{ran2} \right]$.

⇒ Akumulacija lokalnih energija: $\sum E_{k,w} = \sum E_{k,w} + n_w E'_L$.

⇒ Kopiranje potomka $\vec{R}'_{p(w)}$, odnosno njihovih identifikacijskih parova u novi ansambl:

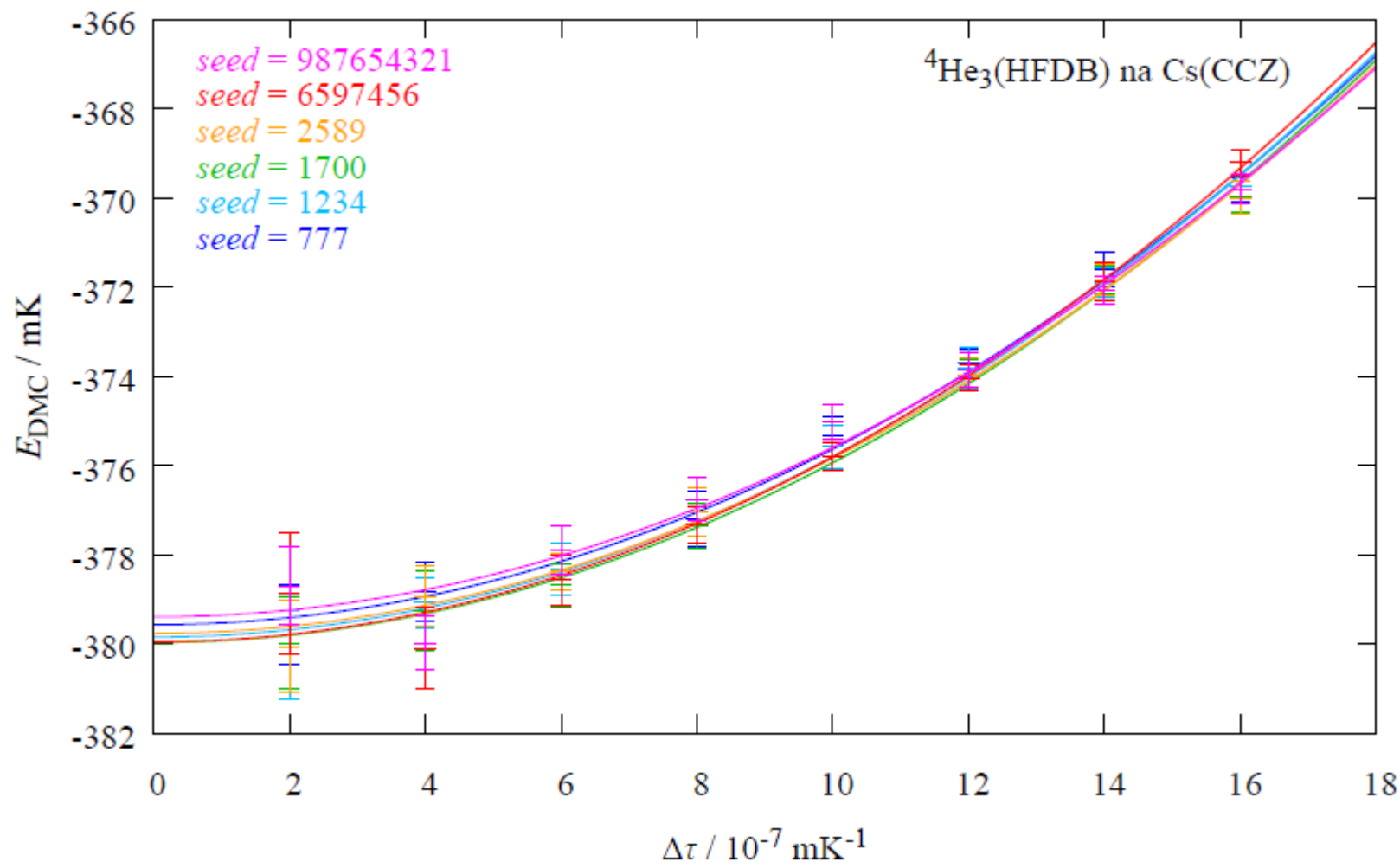
$$S' = S' \cup \left\{ \left(\vec{R}_{i+j}^m, E'_L \right) \mid i = \sum_{m=1}^{w-1} n_m; 1 \leq j \leq n_w \right\}. \quad (4.101)$$

» METODA: DMC – uzorkovanje $E(b)$

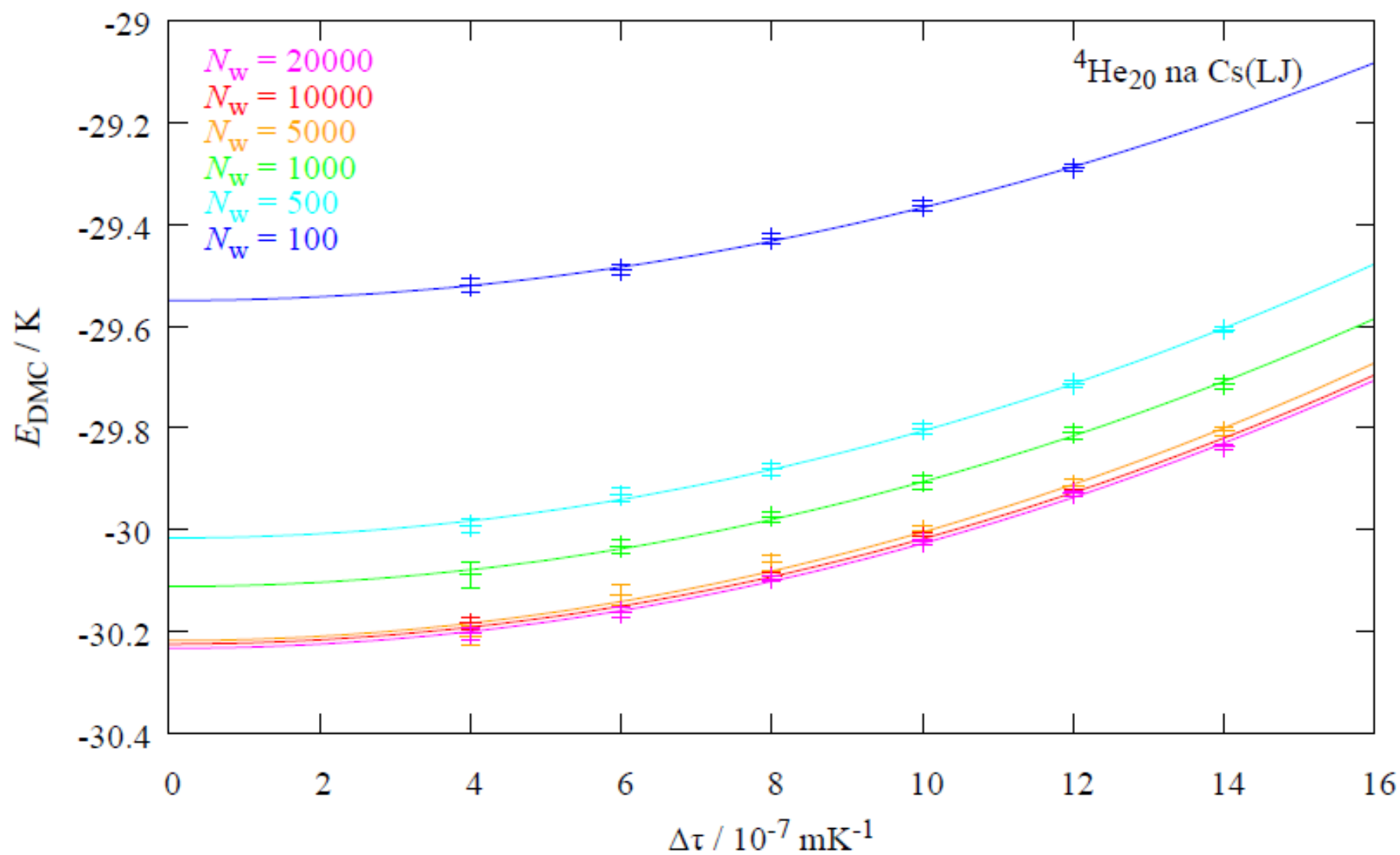


» DMC - $E(\Delta\tau)$

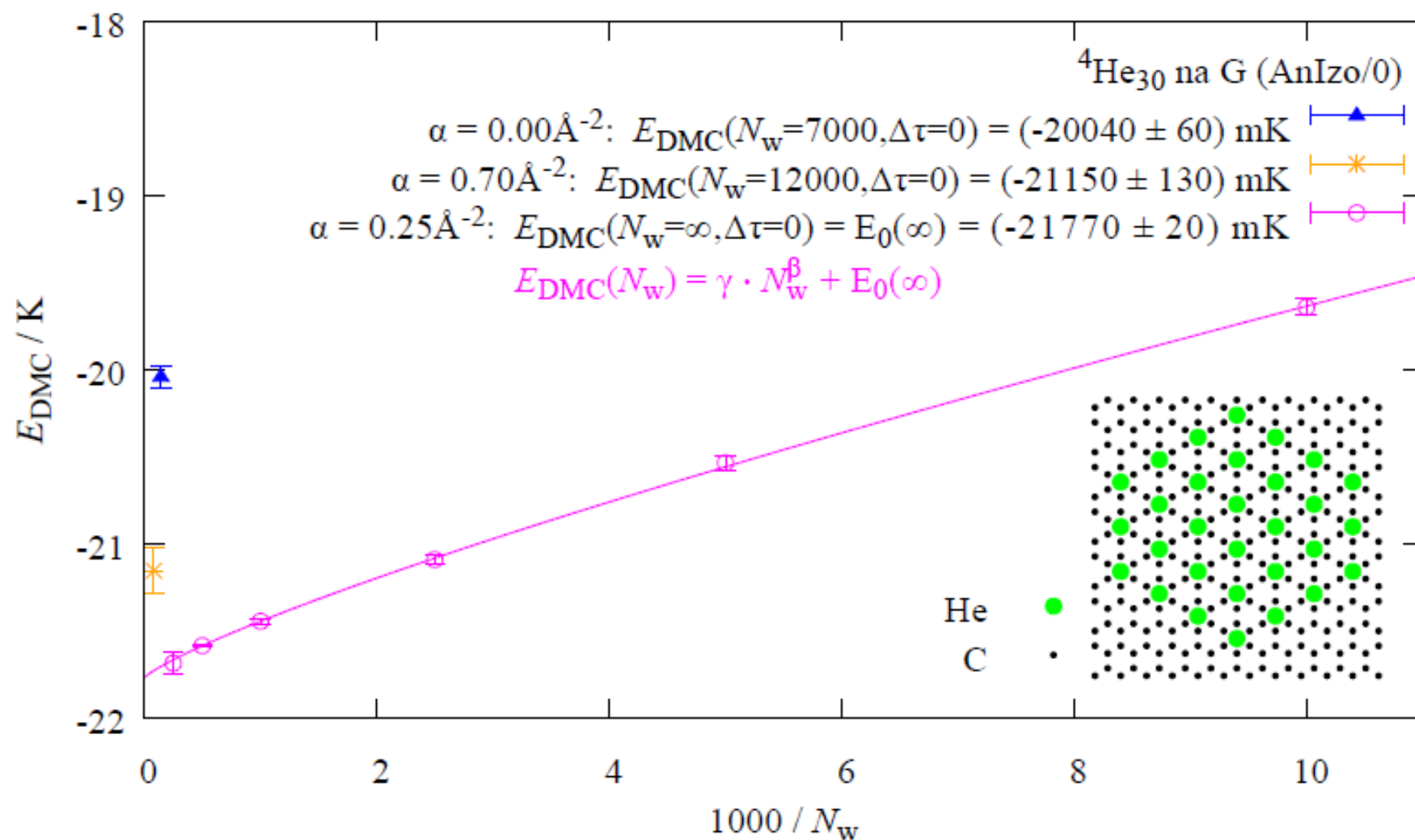
$$E_{\text{DMC}}(\Delta\tau) = E_0(0) + a_E \Delta\tau^2$$



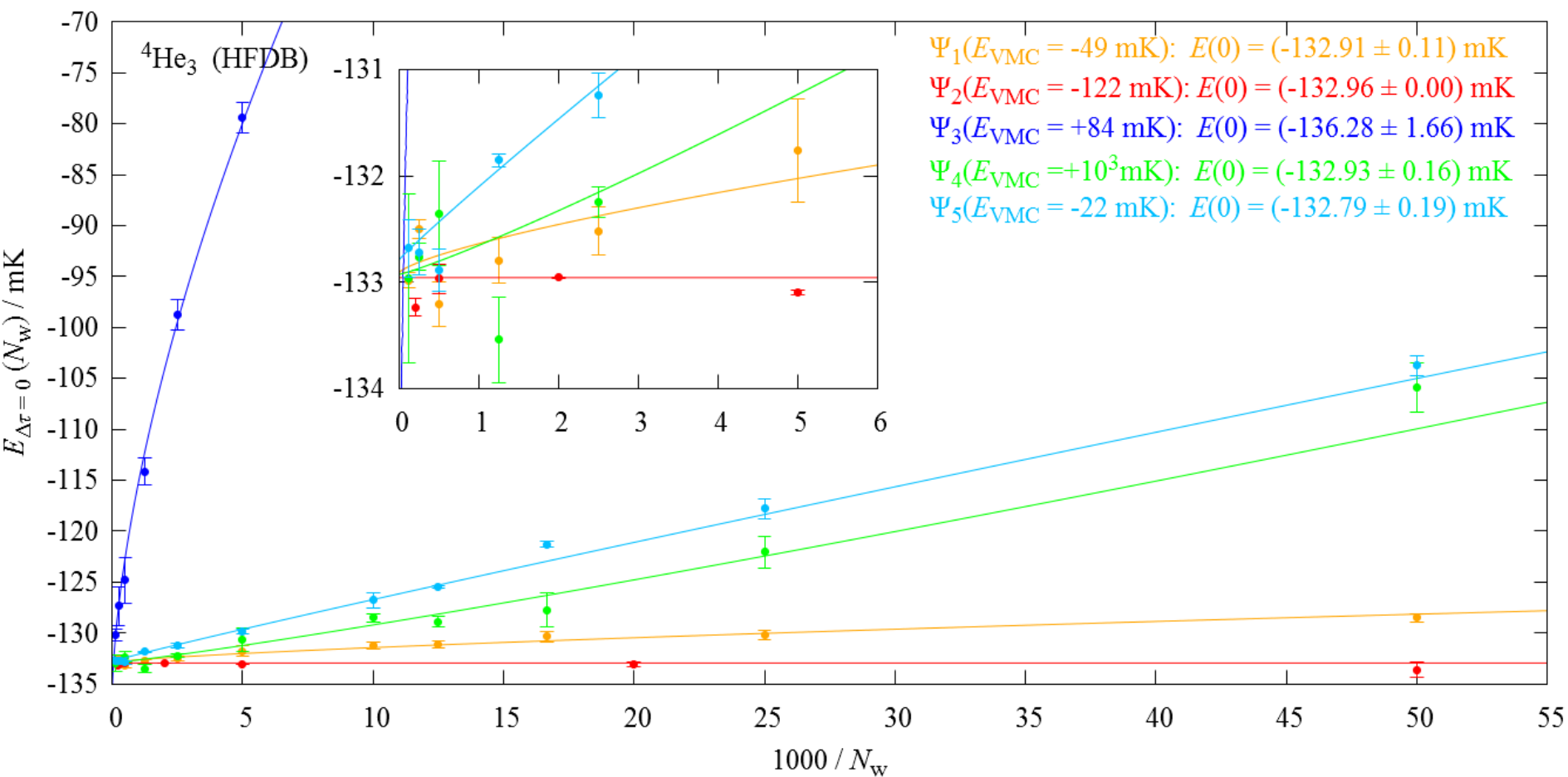
\gg DMC - $E(N_w)$



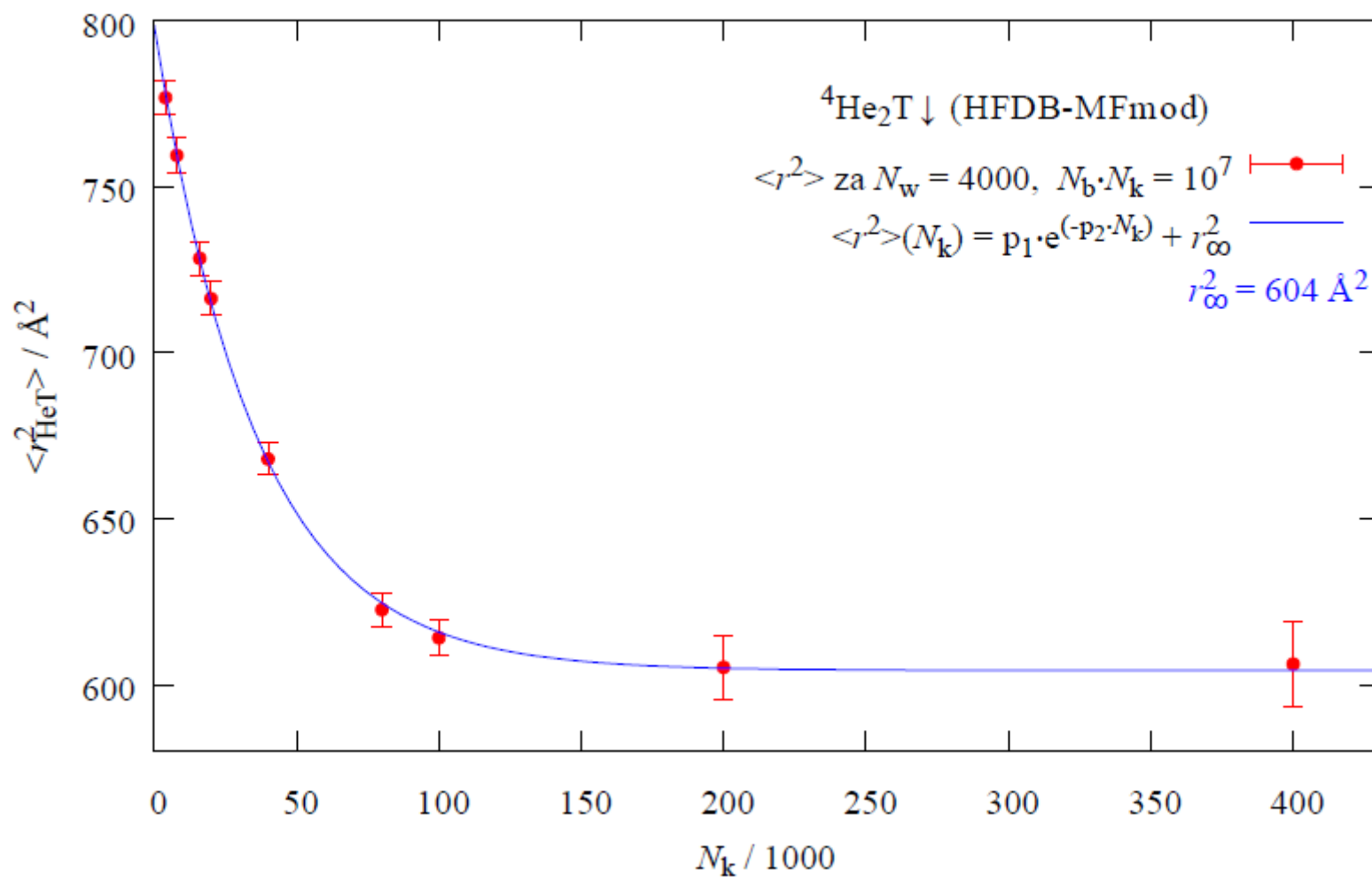
» DMC - $E(N_w)$



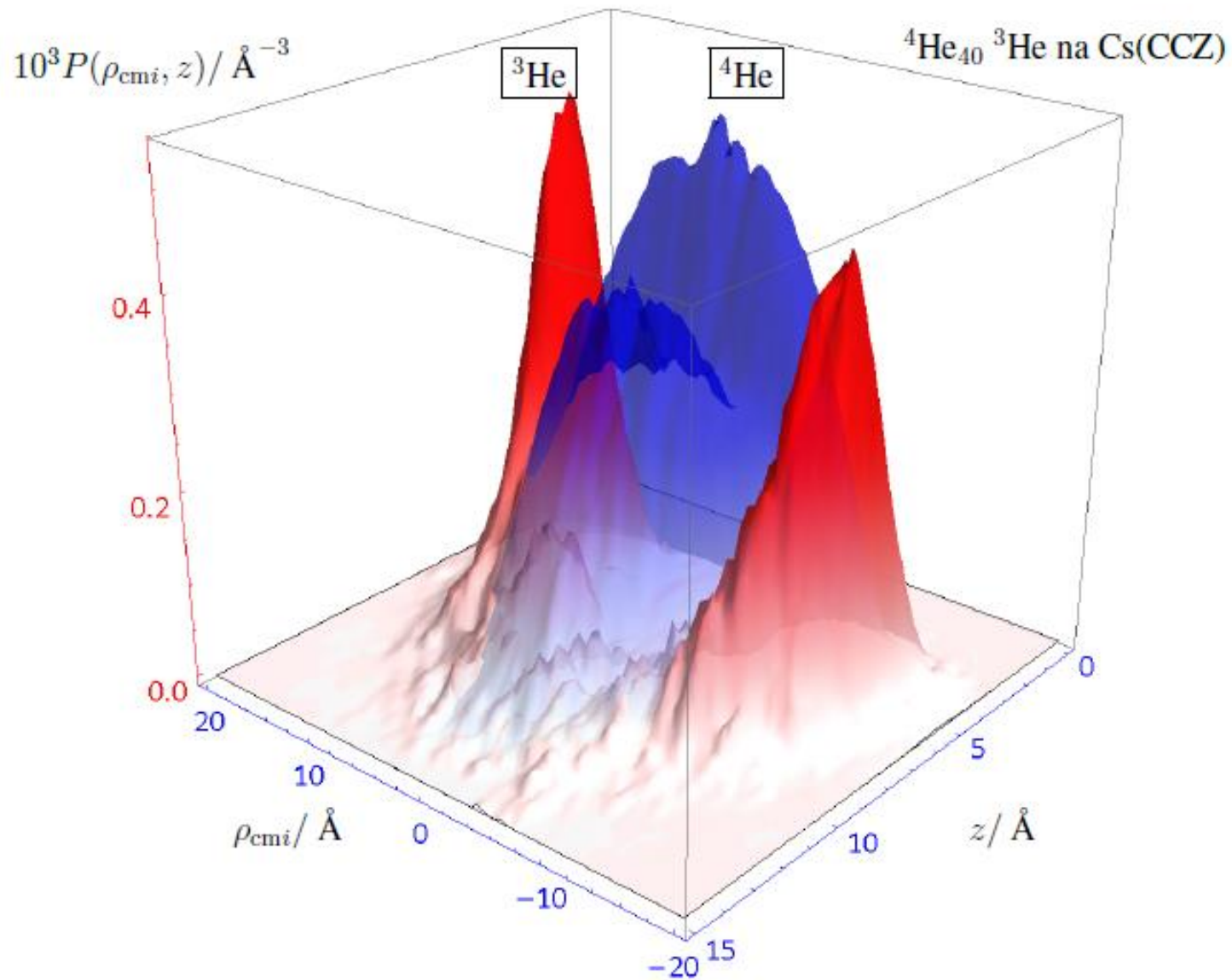
$\gg \text{DMC} - E(N_w, \Psi)$



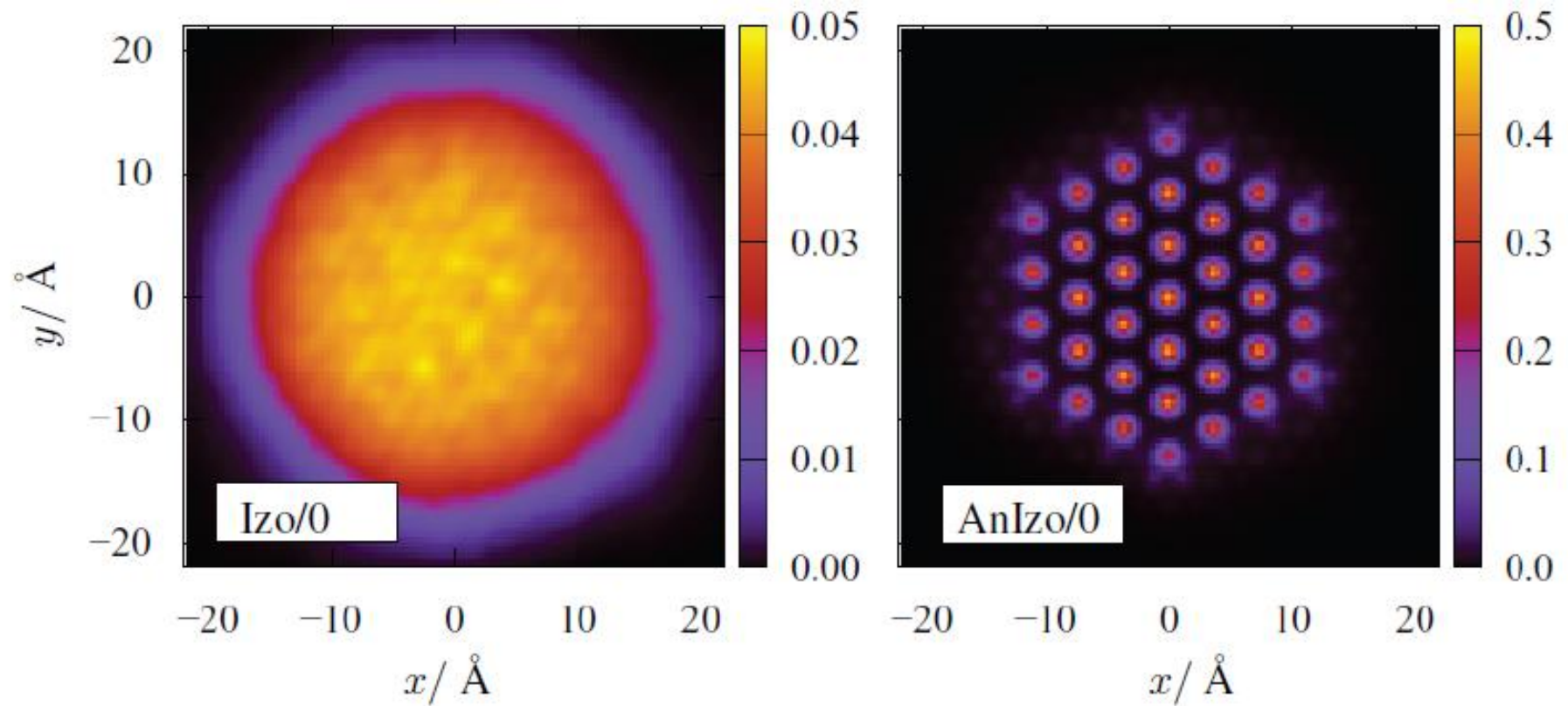
» DMC – čisti estimatori



» DMC - razdiobe

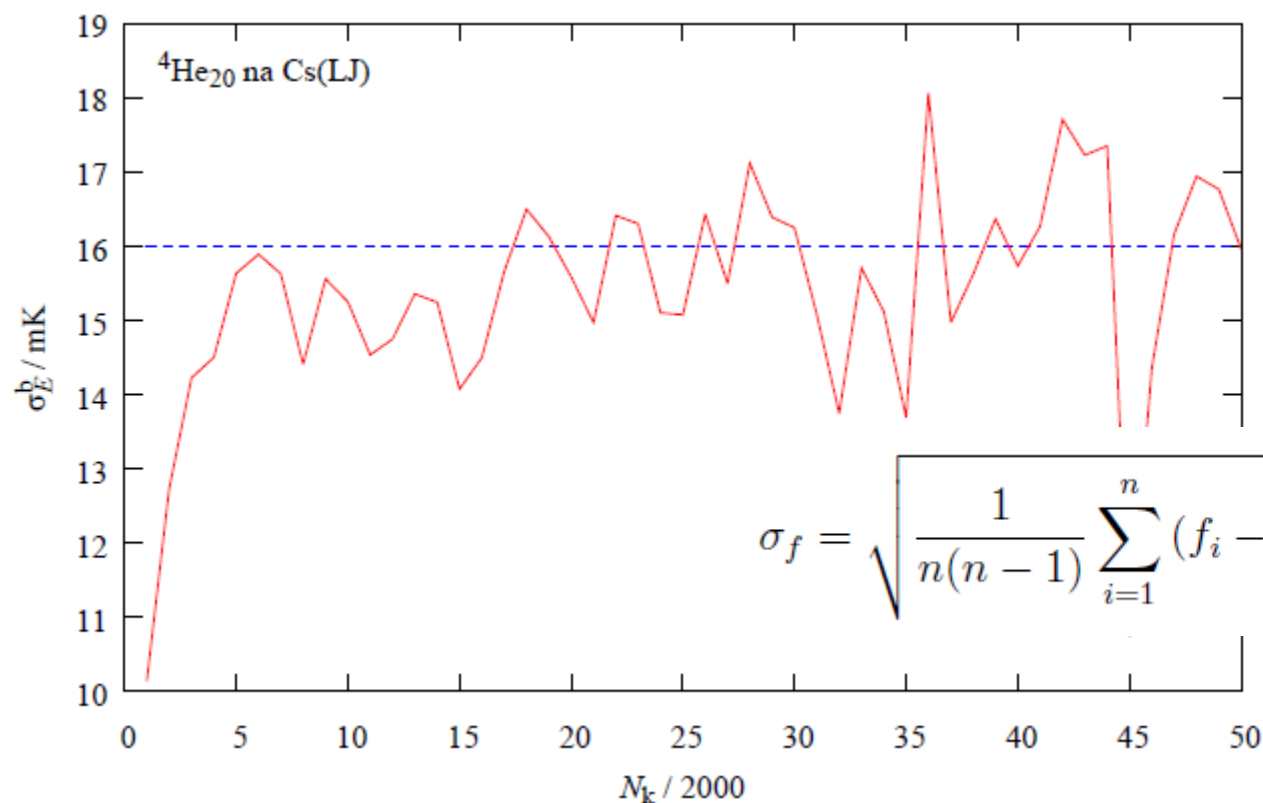


» DMC - struktura



» DMC - devijacije

$$\underbrace{f_1 \equiv f(k=1)}_{\substack{f(b=1) \equiv f_1^b = \sum_{i=1}^{N_k} f_i/N_k}} \underbrace{f_2 \cdots \cdots f_{N_k}}_{\substack{f_2^b = \sum_{i=N_k+1}^{2N_k} f_i/N_k}} \underbrace{f_{N_k+1} \cdots \cdots f_{2N_k}}_{\substack{f_{N_b}^b = \sum_{i=(N_b-1)N_k+1}^{N_b N_k} f_i/N_k}} \cdots \underbrace{f_{(N_b-1)N_k+1} \cdots \cdots f_{N_b N_k}}$$



$$\sigma_f = \sqrt{\frac{1}{n(n-1)} \sum_{i=1}^n (f_i - \langle f \rangle)^2} = \sqrt{\frac{\langle f^2 \rangle - \langle f \rangle^2}{n-1}}$$

>> Z12

Unutar mape **VMC_H** priloženo je rješenje **primjera 4.1 i 4.4**. Prilagodite ga da rješava problem osnovnog stanja kvantnog harmonijskog oscilatora.

Priložite:

- izvod lokalne energije za odabranu probnu valnu funkciju
- prikaz ovisnosti energije o varijacijskom parametru
- prikaz ovisnosti energije po blokovima za optimalni parametar
- prikaz ovisnosti greške najniže energije o veličini bloka
- konačnu vrijednost srednje energije i njenu devijaciju ispišite na prethodnome grafu.